13

Экранирующие свойства оптически прозрачных тонкопленочных сэндвич-структур In₂O₃/Ag/In₂O₃

© С.В. Неделин¹, Н.А. Золотовский¹, А.С. Воронин¹⁻³, И.А. Тамбасов^{4,5}, М.О. Макеев², Б.А. Паршин², Е.Л. Бурьянская², П.А. Михалёв², М.М. Симунин^{1,2}, С.В. Хартов³

E-mail: a.voronin1988@mail.ru

Поступило в Редакцию 9 сентября 2024 г. В окончательной редакции 24 декабря 2024 г. Принято к публикации 26 декабря 2024 г.

Проведены синтез и комплексное исследование оптоэлектрических и экранирующих свойств оптически прозрачных проводящих сэндвич-структур $In_2O_3/Ag/In_2O_3$ на гибкой подложке из полиэтилентерефталата. Изучена взаимосвязь между толщиной слоя серебра и оптоэлектрическими параметрами сэндвич-структур $In_2O_3/Ag/In_2O_3$. Измерение коэффициентов пропускания и отражения в диапазоне $0.01-7\,\mathrm{GHz}$ показало четкую корреляцию между поверхностным сопротивлением и коэффициентом пропускания. Показано, что полученные результаты могут быть описаны моделью тонкого слоя в диапазоне $0.01-7\,\mathrm{GHz}$.

Ключевые слова: прозрачные проводящие покрытия, экранирование, радиоволны, гибкая электроника.

DOI: 10.61011/PJTF.2025.09.60222.20109

Прозрачные проводящие покрытия являются ключевыми материалами оптоэлектроники [1]. Помимо оптоэлектроники одной из важных сфер применения прозрачных проводящих покрытий является экранирование прозрачных объектов, что актуально для метрологии и защиты информации [2,3]. Экранирование окон, смотровых отверстий в метрологических помещениях и устройств вывода информации способствует снижению влияния помех на работу прецизионного измерительного оборудования и предотвращает кражу конфиденциальной информации.

Основным классом материалов, применяемых на практике, являются прозрачные проводящие оксиды (ППО) [4]. Однако пленки ППО имеют высокие эксплуатационные параметры лишь на стеклянных подложках. Одной из альтернатив для ППО являются тонкопленочные структуры оксид/металл/оксид (ОМО) [5]. ОМО-покрытия сочетают в себе низкое поверхностное сопротивление, высокое пропускание в видимом диапазоне и высокий коэффициент экранирования, а также совместимы с полимерными подложками в отличие от пленок ППО. Однако их потенциал в решении задач экранирования радиоизлучения исследован недостаточно, что обусловливает актуальность настоящей работы.

Сэндвич-структуры $In_2O_3/Ag/In_2O_3$ (далее структуры IAI) формировались методом последовательного магнетронного напыления на постоянном токе в импульсном режиме. На подложку из полиэтилентерефталата (PET) толщиной $50\,\mu{\rm m}$ напылялись подслой и закрывающий слой, состоящие из оксида индия (толщина $20\,{\rm nm}$),

в качестве центрального слоя использовалось серебро (толщина 9, 13 и 17 nm). Оксид индия наносился реактивным методом из металлической мишени индия при мощности $100\,\mathrm{W}$ в атмосфере газов аргона и кислорода с соотношением $79/21\,[\%]$ соответственно, остаточное давление $4.4\cdot10^{-3}\,\mathrm{Torr}$. Распыление серебра производилось в атмосфере аргона при мощности $50\,\mathrm{W}$ и остаточном давлении $4.4\cdot10^{-3}\,\mathrm{Torr}$. Оценочная скорость напыления серебра составляла $1.1\,\mathrm{\AA/s}$, оксида индия — $1.7\,\mathrm{\AA/s}$. Толщина каждого слоя определялась при помощи кварцевого резонатора.

Морфология слоя оксида индия (рис. 1, a) и серебра на слое оксида индия исследовалась методом сканирующей электронной микроскопии S 5500 (SEM, Hitachi, Япония). Пленка серебра толщиной как 9 nm (рис. 1, b), так и $17\,\mathrm{nm}$ (рис. 1,c) имеет устойчивую перколяцию между отдельными зернами, однако размер зерна увеличивается с увеличением толщины пленки. Тем не менее структура слоя серебра значительным образом определяется подслоем и в целом повторяет характерные размеры зерен подслоя оксида индия. Шероховатость поверхности сэндвич-структур IAI исследовалась методом атомно-силовой микроскопии (AFM, Ntegra Prima, NT-MDT SI, Россия), радиус закругления зонда составлял $10\,\mathrm{nm}$. На рис. 1,d приведены профили поверхности, среднеквадратичная шероховатость сэндвичструктур IAI увеличивается с увеличением толщины прослойки серебра и составляет 2 ± 1 , 3 ± 1 и 4 ± 1 nm соответственно. Данное поведение нетипично для ультратонких пленок металлов на стекле и кремнии, у кото-

¹ Сибирский федеральный университет, Красноярск, Россия

² Московский государственный технический университет им. Н.Э. Баумана, Москва, Россия

³ Федеральный исследовательский центр "Красноярский научный центр СО РАН", Красноярск, Россия

⁴ ООО "Спецтехнаука", Красноярск, Россия

⁵ Институт физики им. Л.В. Киренского СО РАН, Красноярск, Россия

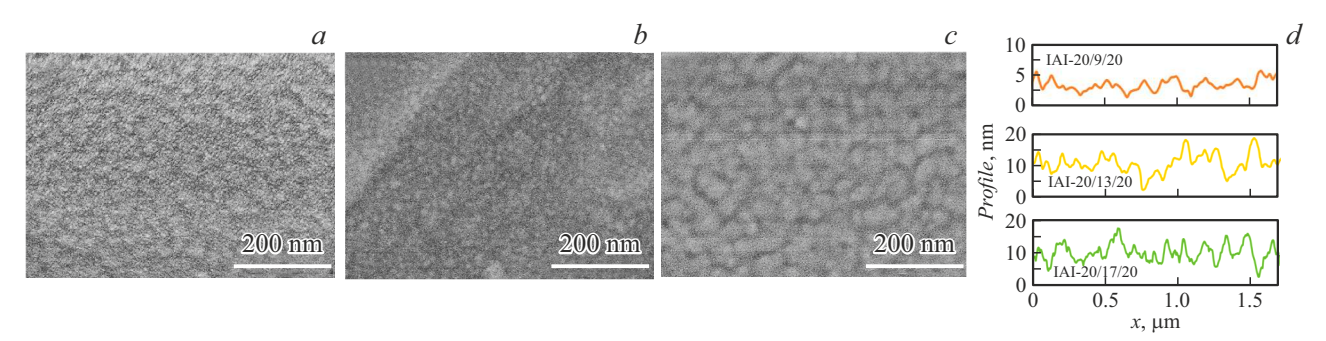


Рис. 1. SEM-изображения морфологии пленок исходного слоя оксида индия на PET (a) и пленок серебра толщиной 9 (b) и 17 nm (c) на подслое оксида индия (увеличение 200 k). d — профили шероховатости поверхности сэндвич-структур IAI с различной толщиной серебра.

рых шероховатость снижается с увеличением толщины. По нашему предположению такое поведение связано с откликом РЕТ-подложки на термическое воздействие в процессе напыления сэндвич-структур IAI.

Спектральное пропускание измерялось при помощи спектрофотометра Shimadzu UV-3600i plus (Shimadzu, Япония) с интегрирующей сферой. На рис. 2, а приведено пропускание в диапазоне 300-2600 nm для референсной РЕТ-подложки и сэндвич-структур IAI. Как правило, тонкие металлические пленки имеют низкое пропускание за счет потерь в тонком слое металла. Поскольку потери на поглощение в тонкой пленке металла незначительны, одним из механизмов потерь является отражение излучения на границе раздела металл-воздух. Нанесение поверх пленки металла слоя прозрачного оксида позволяет снизить потери на отражение, тем самым просветляя всю структуру [6]. Верхний слой оксида индия выполняет функцию антиотражающего покрытия. Следует отметить, что наблюдаются конкурирующие процессы между увеличением пропускания за счет антиотражающих свойств пленки оксида индия и снижением пропускания за счет увеличения толщины слоя серебра, что обусловливает неоднозначность поведения спектров в видимой области. Пропускание на длине волны 500 nm для структур с прослойкой серебра толщиной 9, 13 и 17 nm составляет 71.46, 73.35 и 72.28 % соответственно. Однако интегральное пропускание в видимом диапазоне заметно снижается с увеличением толщины слоя серебра, что коррелирует с литературными данными [7]. В ближнем ИК-диапазоне (780–2600 nm) наблюдается равномерное снижение пропускания для всех сэндвич-структур IAI. Четко наблюдается взаимосвязь между толщиной слоя серебра и коэффициентом пропускания.

Измерение поверхностного сопротивления сэндвичструктур IAI выполнено четырехзондовым методом на установке ST2258C (Jingge Electronics Co., Китай), оно составляет 31 ± 6 , 14 ± 3 и $6\pm 2\,\Omega/{\rm sq}$ соответственно. Электрический транспорт можно описать в рамках модели трех параллельно соединенных резисторов. Согласно этой модели, основной вклад в электропроводность

сэндвич-структуры IAI вносит слой с минимальным сопротивлением, т. е. слой серебра. Для пленок серебра, напыленных на подслой оксида индия, описанных выше, поверхностное сопротивление составляло 15 ± 6 , 10 ± 3 и $5\pm 1~\Omega/{\rm sq}$ соответственно. Как видно, значения отличаются от значений, характерных для конечных сэндвичструктур IAI. Отметим, что поверхностное сопротивление для структуры IAI с прослойкой серебра толщиной 9 nm имеет наибольшее расхождение, что связано с частичным окислением поверхности нанокристаллитов серебра в процессе реактивного напыления слоя оксида индия, закрывающего сэндвич-структуру, причем для пленки толщиной 9 nm данный эффект более выражен за счет того, что средний размер кристаллита существенно меньше.

Коэффициенты пропускания (S_{21}) и отражения (S_{11}) в диапазоне $0.01-7\,\mathrm{GHz}$ измеряли при помощи коаксиальной ячейки, подробное описание эксперимента приведено в нашей предыдущей работе [8]. На рис. 2, b приведены результаты измерения коэффициента пропускания для трех типов сэндвич-структур IAI. Коэффициент пропускания сэндвич-структур IAI постоянен во всем исследуемом диапазоне. Сэндвич-структуры IAI могут быть охарактеризованы усредненным коэффициентом пропускания по всему исследуемому диапазону. Увеличение толщины прослойки серебра приводит к последовательному снижению коэффициента пропускания. Увеличение толщины серебра с 9 до 17 nm приводит к снижению коэффициента пропускания с $-16.42\,$ до $-31.12\,$ dB.

Коэффициент экранирования (SE) сплошных структур типа ОМО связан с коэффициентом пропускания зависимостью $SE=-10\lg S_{21}$ и может быть оценен при помощи модели тонкого слоя [9]:

$$SE = 20\lg\left(1 + \frac{Z_0}{2R}\right),\tag{1}$$

где R — поверхностное сопротивление, $Z_0 = 377\,\Omega$ — импеданс вакуума. Эта простая модель позволяет сравнить экспериментальные и модельные результаты.

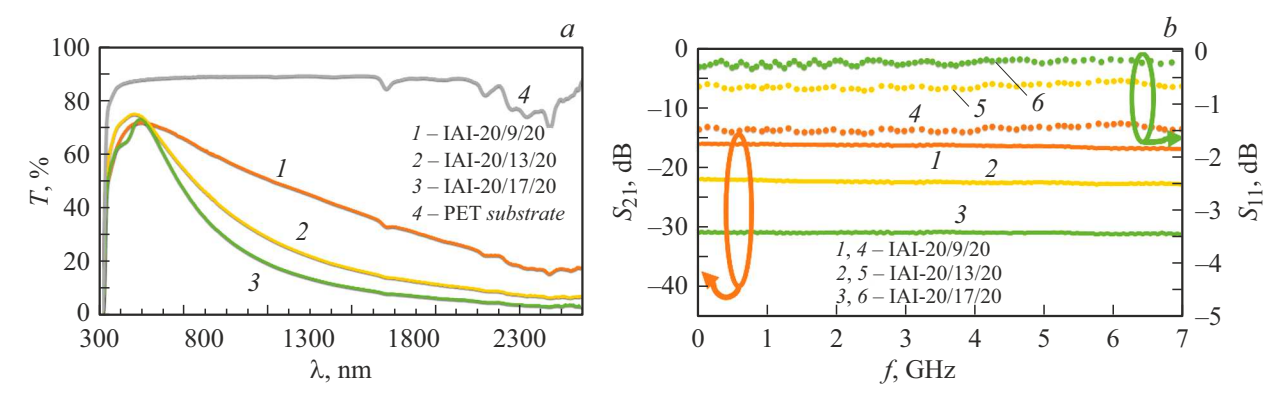


Рис. 2. a — пропускание в видимом и ближнем ИК-диапазонах; b — коэффициенты пропускания и отражения сэндвич-структур IAI в диапазоне $0.01-7\,\mathrm{GHz}$.

Усредненный энергетический баланс сэндвич-структур IAI

Образец	S_{11} , %	$S_{21}, \%$	A, %	SE, dB	SE_{calc} , dB
IAI-20/9/20	70.6	2.28	27.12	16.42	16.91
IAI-20/13/20	84.9	0.56	14.54	22.55	23.03
IAI-20/17/20	94.2	0.077	5.72	31.12	29.67

Спектры отражения сэндвич-структур IAI в диапазоне $0.01-7\,\mathrm{GHz}$ показаны на рис. 2, b. Отражение равномерно по всему исследуемому диапазону. Увеличение толщины прослойки серебра увеличивает долю отраженного излучения. Полный энергетический баланс сэндвич-структур IAI в диапазоне $0.01-7\,\mathrm{GHz}$, вычисленный по формуле $S_{11}+S_{21}+A=1$ (A — коэффициент поглощения), приведен в таблице.

Таким образом, в работе описано получение тонкопленочных сэндвич-структур $In_2O_3/Ag/In_2O_3$, являющихся перспективными оптически прозрачными экранами электромагнитного излучения. Спектральное пропускание в диапазоне $0.01-7\,\mathrm{GHz}$ постоянно и коррелирует с моделью тонкого слоя. Максимальный коэффициент экранирования в диапазоне $0.01-7\,\mathrm{GHz}$ был получен для сэндвич-структуры IAI с толщиной слоя серебра $17\,\mathrm{nm}$ и составил $31.12\,\mathrm{dB}$. Высокий коэффициент экранирования при высоком пропускании в видимом диапазоне демонстрирует перспективность сэндвич-структур IAI для практического использования.

Финансирование работы

Работа выполнена в рамках государственного задания Министерства науки и высшего образования РФ (тема $N_{\rm P}$ FSFN-2024-0066).

Конфликт интересов

Авторы заявляют, что у них нет конфликта интересов.

Список литературы

- M. Morales-Masis, S. De Wolf, R. Woods-Robinson, J.W. Ager, C. Ballif, Adv. Electron. Mater., 3 (5), 1600529 (2017).
 DOI: 10.1002/aelm.201600529
- [2] D. Tan, C. Jiang, Q. Li, S. Bi, X. Wang, J. Song, J. Mater. Sci.: Mater. Electron., 32, 25603 (2021). DOI: 10.1007/s10854-021-05409-4
- [3] A.C. Воронин, Ю.В. Фадеев, И.В. Говорун, A.C. Тамбасов, Волошин, И.А. M.M. Симунин, С.В. Хартов, Письма в ЖТФ, 47 (5), 31 (2021). [A.S. Voronin, DOI: 10.21883/PJTF.2021.05.50674.18496 Y.V. Fadeev, I.V. Govorun, A.S. Voloshin, I.A. Tambasov, M.M. Simunin, S.V. Khartov, Tech. Phys. Lett., 47, 259 (2021). DOI: 10.1134/S1063785021030159].
- [4] A.K. Akhmedov, E.K. Murliev, A.S. Asvarov, A.E. Muslimov, V.M. Kanevsky, Coatings, 12 (10), 1583 (2022).DOI: 10.3390/coatings12101583
- [5] A.K. Akhmedov, A.K. Abduev, V.M. Kanevsky, A.E. Muslimov, A.S. Asvarov, Coatings, 10 (3), 269 (2020).DOI: 10.3390/coatings10030269
- [6] H. Matsunami, S. Matsumoto, T. Tanaka, Jpn. J. Appl. Phys., 16, 1491 (1977). DOI: 10.1143/JJAP.16.1491
- [7] N. Ren, J. Zhu, S. Ban, AIP Adv., 7, 055009 (2017). DOI: 10.1063/1.4982919
- [8] A. Osipkov, M. Makeev, E. Konopleva, N. Kudrina, L. Gorobinskiy, P. Mikhalev, D. Ryzhenko, G. Yurkov, Materials, 14 (23), 7178 (2021). DOI: 10.3390/ma14237178
- [9] C.A. Klein, Proc. SPIE, 1112 (1989). DOI: 10.1117/12.960783